

---

## Testování adsorpčních materiálů pro odstranění CO<sub>2</sub> z bioplynu

---

**Veronika Vrbová, Karel Cíahotný**

VŠCHT v Praze, Ústav plynárenství, koksochemie a ochrany ovzduší

### Abstrakt:

Existuje celá řada způsobů odstraňování oxidu uhličitého a nežádoucích látek z bioplynu, aby byl získán více hodnotný biomethan s obsahem nad 95 % CH<sub>4</sub>. Jedním ze způsobů je použití různých druhů adsorpčních materiálů, které lze pro separaci využít. Během této práce bylo testováno několik druhů sorpčních materiálů pro adsorpci CO<sub>2</sub>, nejdříve v laboratorních podmínkách a následně v reálných podmínkách s použitím bioplynu. Cílem bylo provést statické měření s čistým CO<sub>2</sub> a dynamické měření pro sorpci CO<sub>2</sub> ze směsi CO<sub>2</sub> – vzduch. Poté byly sorpční materiály testovány na Ústřední čistírně odpadních vod v Praze Bubenči, kde bylo postaveno zařízení pro separaci oxidu uhličitého z reálného bioplynu při tlacích 0,5 – 2,5 MPa.

### Úvod

Nejdůležitějším stupněm úpravy bioplynu na biomethan je zařízení na odstranění oxidu uhličitého, který je zastoupen v bioplynu v rozmezí koncentrací 25 – 55 % obj. Mezi další látky, které je nutné z bioplynu odstranit, jsou např. vodní pára, sulfan, amoniak, organokřemičité sloučeniny a kyslík, které jsou v bioplynu obsaženy v malých množstvích. U skládkového a kalového plynu to mohou být dále také halogenové sloučeniny. Metody, které se pro čištění bioplynu na biomethan využívají, se liší použitou technologií a pracovními podmínkami v závislosti na složení vstupujícího bioplynu. Mezi tyto metody patří adsorpce na pevných adsorbentech, dále lze využít fyzikální či chemickou absorpci, kryogenní nebo membránovou separaci. Jednotlivé technologie se liší v principu separace, komplexnosti (některé odstraňují pouze určité nežádoucí složky z bioplynu) a kapacitních možnostech. Ve srovnání s jinými separačními metodami je nejvyužívanější adsorpce pro své nízké investiční náklady a nízké energetické potřeby. Současně tato metoda dokáže separovat z bioplynu nejen CO<sub>2</sub>, ale také ostatní nečistoty, jako například vodu, sulfan a sloučeniny křemíku.

### Teoretická část

#### Princip adsorpce

Adsorpce je separační proces, jehož principem je sdílení hmoty mezi kapalnou, či plynnou látkou a povrchem pevné látky účinkem mezipovrchových přitažlivých sil. Tento proces se používá k oddělování složek, které jsou v nízké koncentraci obsaženy v tekutinách (v plynech nebo kapalinách) [1].

Adsorpční technologie našly své uplatnění v několika technologických odvětvích, např. úprava odpadních plynů, sušení vzduchu, zakoncentrování vyrobených produktů, čištění pracovního ovzduší, znovuzískávání rozpouštědel, využití při sanačních procesech a čištění odpadních vod.

K adsorbentu jsou separované částice poutány silami různé povahy; podle toho rozlišujeme fyzikální adsorpci nebo chemisorpci [1].

Při fyzikální adsorpci dochází mezi porézním materiálem a molekulami adsorptivu k interakci vlivem tzv. Van der Waalsových sil. Při tomto procesu nedochází k přenosu elektronů, ani jejich sdílení, molekuly adsorbované látky se neštěpí, ale naopak dochází



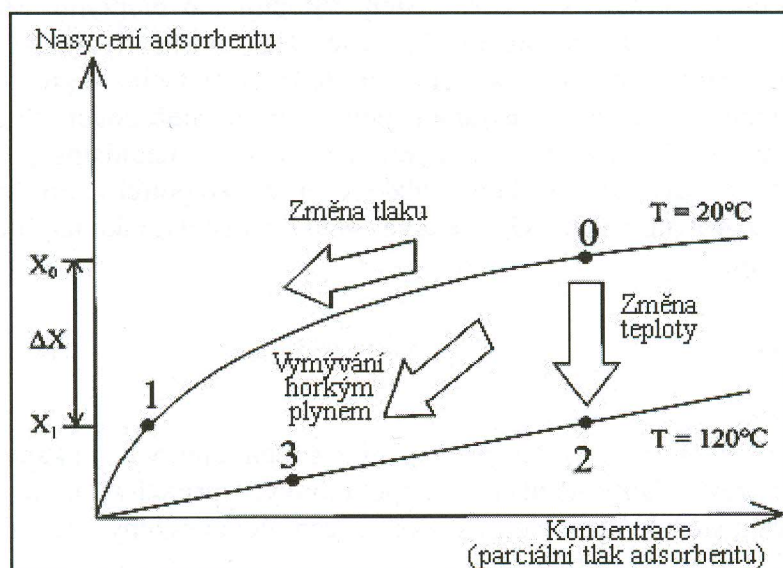
k vícevrstvé adsorpci. Tento děj je vratný, při snížení tlaku nebo zvýšení teploty dochází k uvolnění adsorbované látky, čímž dojde k regeneraci použitého sorbentu. Adsorpční teplo, které představuje energii odebranou pohybujícím se molekulám, se u fyzikální adsorpce pohybuje v rozmezí 300 - 3 000 J/mol.

Na rozdíl od fyzikální adsorpce dochází při chemisorpci k přenosu, nebo sdílení elektronů mezi adsorpčním materiálem a adsorbovanou látkou, čímž vznikají silnější vazebné síly, které jsou srovnatelné se silami vedoucích ke vzniku chemických povrchových sloučenin. Chemisorpce je děj nevratný, pro uvolnění vazeb je nutná podstatně vyšší teplota než při fyzikální adsorpci a desorbovaná látka se liší od adsorbované. Adsorpční teplo, které se uvolňuje při chemisorpci, je v mezích 40 – 400 kJ/mol [2, 3].

Hlavním kritériem pro rozlišení fyzikální adsorpce a chemisorpce je specifická adsorpční kapacita. Chemisorpce je specifická, naopak fyzikální adsorpce je nespecifická, protože dochází k sorpci jakéhokoli adsorptivu při vhodných podmínkách na všech površích adsorpčních materiálů. Dalším kritériem je počet adsorbovaných vrstev, zatímco chemisorpce je vždy monomolekulární, během fyzikální adsorpce dochází k vícevrstvé adsorpci [4].

Opačný proces adsorpce je desorpce, která vede ke zpětnému uvolňování naadsorbované látky do plynné, nebo kapalné fáze. Polymerizující látky, látky s vysokým bodem varu, nebo látky, které se na povrch adsorbentu naváží chemickou vazbou, nelze desorbovat běžnými způsoby. Princip desorpce je znázorněn na Obr. 1. Rozlišujeme tři základní typy desorpce:

- zvýšením teploty adsorbentu,
- snížením parciálního tlaku adsorptivu v okolním prostředí,
- proplachováním proudem inertního plynu.



Obr. 1. Principy desorpce[5].

### Druhy adsorpčních materiálů

Jako adsorpční materiály se nejčastěji používají uhlíkaté adsorbenty, silikagely a zeolity. Výběr vhodného materiálu závisí na adsorpční kapacitě a selektivitě adsorbentu, požadované čistotě produktu, možnosti regenerace nasyceného adsorbentu a jeho ceně.



Mezi hlavní druhy uhlíkatých adsorbentů patří aktivní koks, aktivní uhlí a uhlíkatá molekulová síta. Všechny tyto materiály mají stejný vzhled, ale liší se svými fyzikálními vlastnostmi, např. velikostí vnitřního povrchu a svými adsorpčními schopnostmi.

*Aktivní koks* je adsorpční materiál s méně rozvinutým adsorpčním povrchem, řádově v desítkách až stovkách  $\text{m}^2$  na 1 gram adsorbentu. Jako surovina pro aktivní koks se nejčastěji používá hnědé uhlí pro výrobu adsorpčního materiálu v kusové a práškové formě, nebo černé uhlí, ze kterého se vyrábí aktivní koks ve formě výlisků o průměru 3 – 5 mm a délce několika mm. Při výrobě tohoto sorpčního materiálu se neprovádí aktivace a adsorpční povrch se tvoří jen v procesu karbonizace použité suroviny. Tento sorpční materiál má vysokou mechanickou pevnost a lze ho několikrát násobně využít. Jeho použití je především při odstraňování různých plynných škodlivin ze spalin a jiných odpadních plynů a při čištění odpadních vod.

*Aktivní uhlí* má vnitřní povrch vyšší než aktivní koks, pohybuje se zhruba od 400  $\text{m}^2/\text{g}$ . Aktivní uhlí je vyráběno v následujících formách: práškové, kusové, extrudované a impregnované aktivní uhlí. Tento druh adsorpčního materiálu se používá k čištění plynů, např. k odstraňování zápachajících látek, které jsou v odpadních plynech přítomny v nízkých koncentracích.

*Uhlíkatá molekulová síta* se označují sorbenty, které mají jednotnou velikost vstupních otvorů do porézního systému. Tento požadavek je dodržen pouze u zeolitických molekulových sít, jelikož vzhledem k jejich jednoznačnému krystalografickému uspořádání mají přesně definovanou velikost vstupních otvorů do porézního systému. U uhlíkatých molekulových sít nelze tento požadavek dodržet, vnitřní porézní systém má podobnou strukturu jako adsorpční systém aktivních uhlí. Adsorpční povrch těchto materiálů se pohybuje řádově ve stovkách  $\text{m}^2$  na jeden gram materiálu a má vysokou pevnost. Tento sorpční materiál se běžně vyrábí ve formě válečků o průměru a délce několik mm. Výhodou uhlíkatého molekulového síta je, že trvale nesorbují vodu a oxid uhličitý, proto se dá využít i na dělení směsí plynů, které tyto látky obsahují [6].

*Silikagel* je granulovaná, pórovitá forma  $\text{SiO}_2$  vyráběná synteticky z křemičitanu sodného. Má vysokou porozitu, a vnitřní povrch kolem 800  $\text{m}^2/\text{g}$ , což umožňuje adsorbovat vodu a další polární látky. Po nasycení vodou může být regenerován ohřátím na 150 °C. Silikagel je netoxický, nehořlavý a chemicky vysoce odolný. Dodává se ve formě tvrdých kuliček o různých velikostech, které jsou velmi odolné proti rozdrčení a opotřebení.

*Zeolity* nacházejí stále nové možnosti využití v ochraně životního prostředí. Mají schopnost selektivně adsorbovat molekuly plynů a par, vratně adsorbovat a desorbovat vodu a vyměňovat vlastní kationty za kationty z roztoku na základě iontové selektivity. Ve struktuře zeolitu může být zachycena pouze taková molekula, jejíž průměr je menší, než průměr kanálek. Adsorpčních vlastností zeolitů se využívá například k pohlcování nepříjemných zápachů v pracovním prostředí, protože jsou schopné dobře adsorbovat různé polární látky, jako je např. amoniak a sulfan.

*Alumina* je adsorpční materiál, který je tvořen z 85 % oxidem hlinitým a zbytek tvoří minerální příměsi. Specifický povrch tohoto adsorbentu je 120 – 150  $\text{m}^2/\text{g}$ . Má vysoké hydrofilní vlastnosti, proto je vhodný pro adsorpci polárních látek. Využívá se v oblasti sušení plynů, sušení organických látek a jejich směsí nebo jako nosič katalyzátorů. Další využití je pro odstraňování kyselých plynů (např. HCl nebo HF) ze vzduchu, nebo  $\text{CO}_2$ ,  $\text{H}_2\text{S}$ ,  $\text{CS}_2$  z uhlovodíků. Pro některé aplikace nachází své uplatnění díky nízkým pořizovacím nákladům.



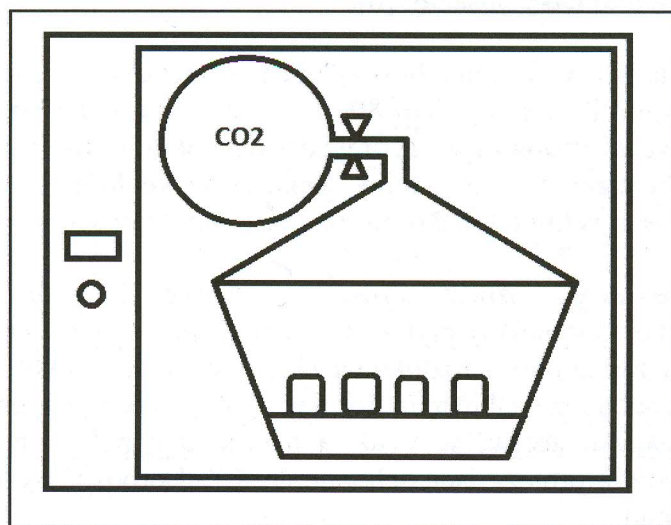
Nevýhodou využití v průmyslu je snižující se adsorpční aktivita po regeneraci tohoto materiálu [4, 7].

## Experimentální část

Pro práci v laboratoři a na Ústřední čistírně odpadních vod v Praze byly vybrány následující adsorbenty na bázi aktivního uhlí, syntetických zeolitů, molekulových sít a silikagelu:

- **Calsit** – syntetický zeolit, Sloznaft
- **Tamismoleculaires** - molekulové síto, Caldic
- **Molekulové síto 13 X** - syntetický zeolit, Sigma – Aldrich
- **K 48** – aktivní uhlí, SilcarbonAktivkohle
- **C 46** – aktivní uhlí, SilcarbonAktivkohle
- **Envisorb** – kombinovaný adsorbent složený z aktivního uhlí a silikagelu, EngelhardProcessChemicalsGmbH

Nejprve byly získány informace o maximálních adsorpčních kapacitách vybraných adsorbentů. Měření probíhalo tzv. statickou gravimetrickou metodou, při které byly vzorky uloženy v termoboxu s přesně nastavenou konstantní teplotou 30 °C. Tento termobox umožňuje měření několika vzorků najednou za stejných podmínek, viz Obr. 4. Vzorky byly před měřením regenerovány v sušárně při teplotě 150 °C po dobu 4 hodin. Poté byly adsorbenty naváženy do váženek s víčkem, víčka byla odstraněna a váženky vloženy do exsikátoru. Celý exsikátor byl evakuován vodní vakuovou pumpou a následně byl na něj připojen plastový balón naplněný čistým oxidem uhličitým. Vážení adsorbentů po určité době bylo prováděno opět s příslušnými víčky a probíhalo až do dosažení konstantní hmotnosti vzorků. Schéma zařízení pro měření maximálního stupně nasycení adsorbentů v prostředí čistého CO<sub>2</sub> je znázorněno na Obr. 2.



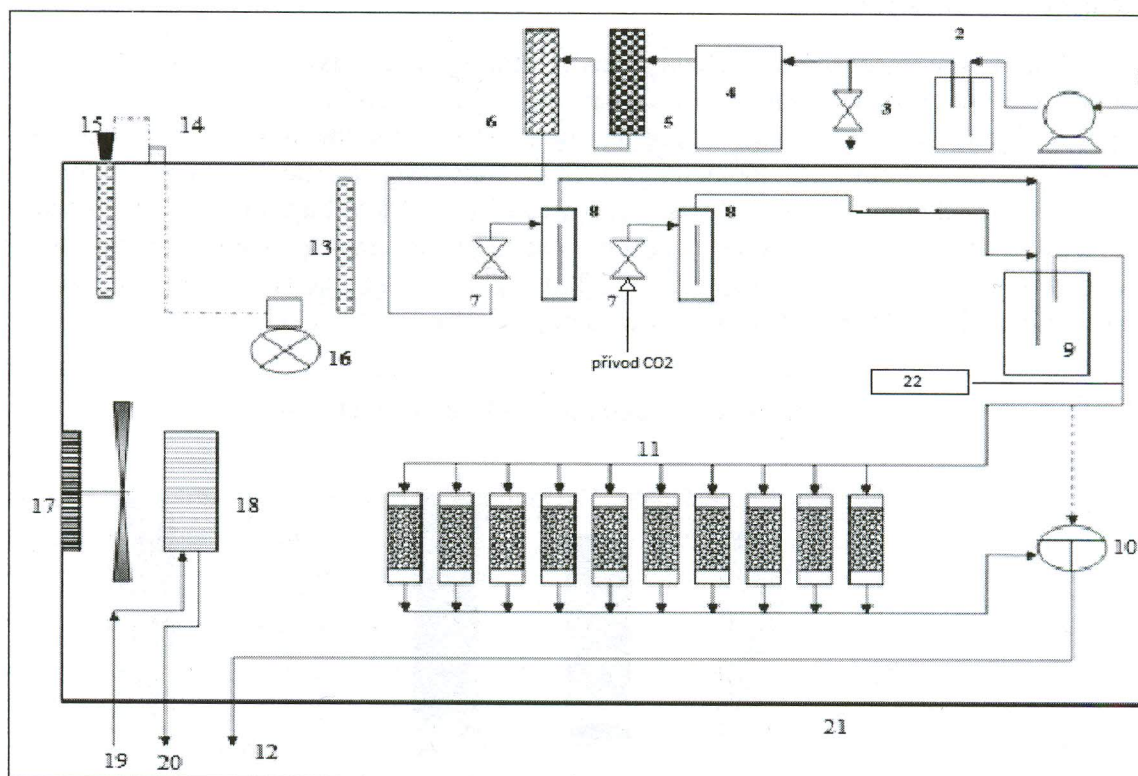
**Obr. 2.** Nákres temperovacího boxu pro měření maximální adsorpční kapacity testovaných adsorbentů pro CO<sub>2</sub>.

Dále bylo provedeno měření se stejnými vzorky adsorbentů tzv. průtočnou gravimetrickou metodou. Vzorky testovaných adsorbentů jsou naplněny v adsorbérech a testovány paralelně. Celá aparatura je umístěna v uzavřeném temperovaném boxu, což umožňuje za stejných podmínek měřit až 10 testovaných adsorbentů. Schéma průtočné gravimetrické aparatury je znázorněno na Obr. 3. K měření adsorpčních izoterem byla používána směs CO<sub>2</sub> a inertního



plynu (vysušený vzduch), která proudila přes adsorbéry naplněné testovanými adsorpčními materiály. Adsorpční rovnováhy bylo dosaženo po ustálení konstantní hmotnosti, která byla zjišťována pravidelným vážením všech adsorbérů v určitých časových intervalech. Koncentrace a oxidu uhličitého v plynné směsi byly sledovány pomocí přístroje ASEKO (IČ senzor), který ukazoval aktuální hodnoty koncentrace CO<sub>2</sub> v plynné směsi před vstupem do adsorbérů s testovanými adsorpčními materiály. Po ustavení adsorpční rovnováhy ve všech adsorbérech, kdy se hmotnosti adsorbentů již nemění, pokračovalo měření stejným způsobem pro nastavenou vyšší koncentraci CO<sub>2</sub> v plynné směsi.

Potřebný vzduch byl čerpán membránovým čerpadlem a před měřením byl sušen ve třech stupních. V prvním stupni docházelo k vysušení vymrazováním v U - trubici, která byla ponořena do směsi ethanolu s přídatkem 5 % methanolu a pevným oxidem uhličitým, tím docházelo k ochlazení až na -70 °C. Druhý stupeň sušení byla adsorpce vodní páry na silikagelu a posledním stupněm sušení bylo molekulové síto 5 Å, kde se vedle vodní páry odstraní ještě atmosférický CO<sub>2</sub>. Smícháním tohoto proudu vzduchu s druhým proudem CO<sub>2</sub> z tlakové láhve v určitém poměru byla získána směs o požadované koncentraci oxidu uhličitého, která byla vedena do adsorbérů s testovanými vzorky. Hmotnost adsorbovaného oxidu uhličitého v každém vzorku adsorbentu byla stanovena jako rozdíl hmotnosti příslušného adsorbéru se vzorkem adsorbentu před a po skončení měření.



1-membránové čerpadlo, 2-láhev na vyrovnávání pulzů, 3-regulační ventil, 4-kondenzační sušení, 5-sušení silikagelem, 6-sušení molekulovým sítem, 7-jehlový ventil, 8-kapilární průtokoměr, 9-směšovací láhev, 10-třicestný kohout, 11-adsorbéry se vzorky, 12 - odtah do digestoře, 13-kontrolní rtuťový teploměr, 14-relé, 15-teploměr Vertex, 16-infralampa, 17-ventilátor, 18-chladič, 19-vstup chladicí vody, 20-výstup chladicí vody, 21-termostatovaná skříň, 22-analyzátor ASEKO

**Obr. 3.** Schéma průtočné gravimetrické aparatury.

Testování vybraných adsorbentů probíhalo za zvýšeného tlaku. Pro tato měření byla používána modelová směs oxidu uhličitého a methanu o koncentraci CO<sub>2</sub> 35 % obj. Testovací aparatura byla složena z tlakové láhve obsahující plynnou směs, regulátoru tlaku plynu, který umožňoval nastavení požadovaného tlaku plynu pro testování a z adsorbéru o délce 1000 mm

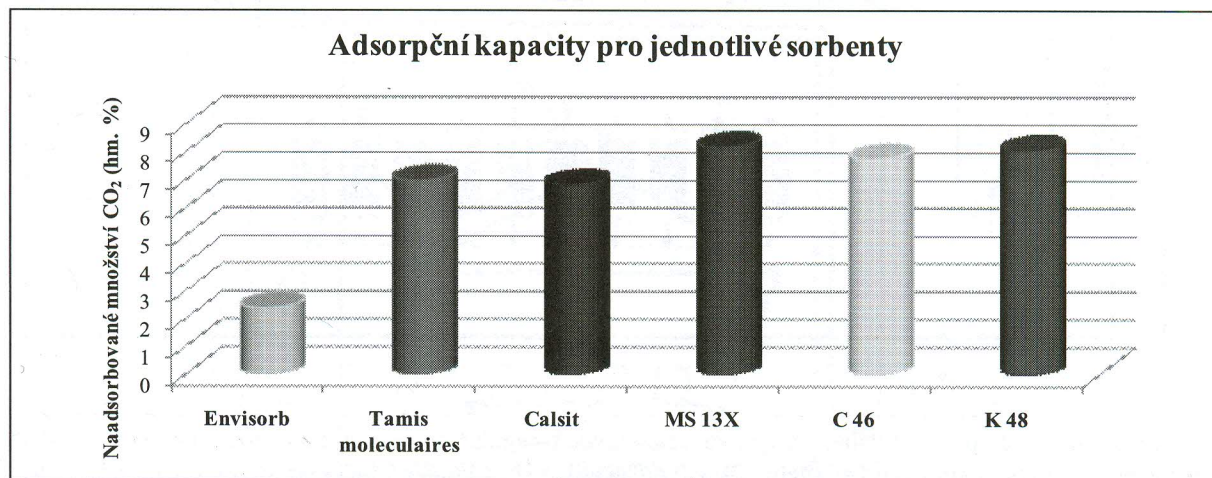


a průměru 20 mm z antikorozní oceli. Za adsorbérem byl jehlový regulační ventil umožňující expanzi tlaku plynu na tlak atmosférický a nastavení požadovaného průtoku modelového plynu, který byl při každém měřeném tlaku nastavován na cca 100 dm<sup>3</sup>/h (při normálním tlaku). Průtok plynu byl měřen suchým membránovým plynoměrem, který byl umístěn za jehlovým regulačním ventilem. Měření probíhalo při čtyřech různých tlacích 0,2; 0,4; 0,6 a 0,8 MPa.

Další pokusy byly prováděny s reálným bioplynem na ÚČOV Praha s větším dvouplášťovým adsorbérem. Přívod surového bioplynu byl spodem adsorbéru přes vnitřní kolonu s náplní adsorpčního materiálu a přečištěný plyn se vracel podél stěn adsorbéru a byl odváděn ven přes jehlový regulační ventil. Průměr vnitřní kolony byl 80 mm a její délka 600 mm. Součástí aparatury byl třístupňový kompresor, kterým byl bioplyn stlačován na požadovaný tlak a poté vstupoval do adsorbéru. Do testovacího zařízení byl plyn odebírán z bioplynového potrubí za ohřivačem plynu. Vstupní koncentrace oxidu uhličitého byla přibližně 35 % CO<sub>2</sub>. Pomocí jehlového ventilu byly regulovány průtoky bioplynu aparaturou a objem prošlého plynu byl opět měřen membránovým plynoměrem. Požadovaný průtok bioplynu adsorbérem byl vypočten na vyšší průměr adsorbéru na cca 1 500 dm<sup>3</sup>/h (za atmosférického tlaku). Měření bylo provedeno při tlacích 0,5; 1; 1,5; 2 a 2,5 MPa.

## Diskuze a výsledky:

Na Obr. 4 jsou znázorněny výsledky maximálního stupně nasycení adsorbentů, které byly zjištěny gravimetricky na statické aparatuře s použitím čistého CO<sub>2</sub> vážením adsorbentů temperovaných na 30 °C před a po jejich saturaci oxidem uhličitým. Jedná se tedy o maximálně dosažitelné ads. kapacity pro CO<sub>2</sub>. Nejvyšší adsorpční kapacity byly zjištěny u vzorků syntetického zeolitu, molekulového síta 13 X a aktivního uhlí K 48, jejichž kapacity dosahovaly 8 % CO<sub>2</sub>. Nejnižší sorpční kapacitu vykazoval kombinovaný adsorbent Envisorb B+, jehož sorpční kapacita byla 2 % CO<sub>2</sub>. Shodné výsledky sorpčních kapacit byly u anorganických adsorbentů Tamis moleculaires a Calsitu.



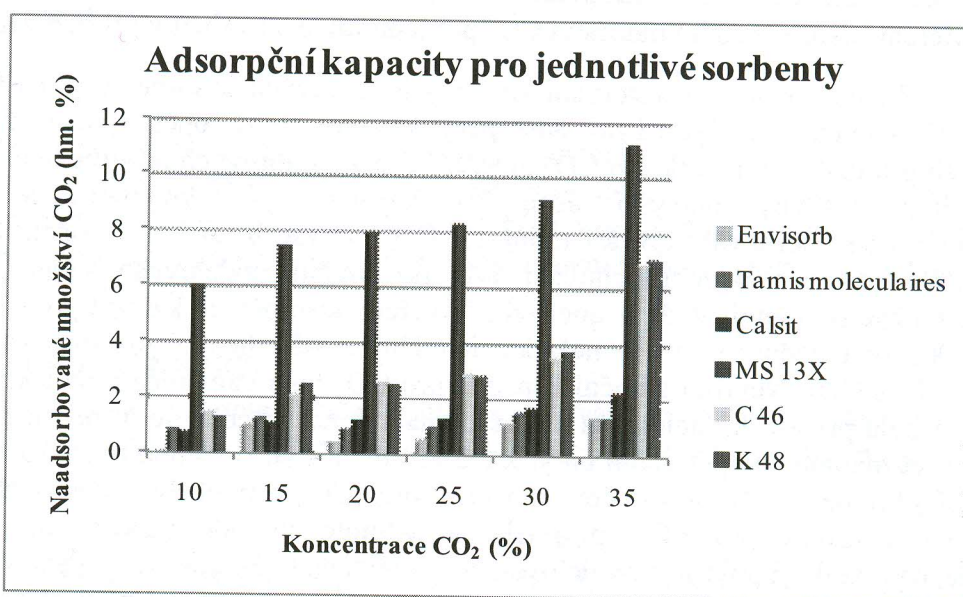
**Obr. 4.** Měření adsorpční kapacity pro CO<sub>2</sub> pro jednotlivé vzorky při použití čistého CO<sub>2</sub> při statickém experimentu.

Adsorpční kapacity pro CO<sub>2</sub> na jednotlivých vzorcích adsorbentů, které byly měřeny průtočnou metodou s použitím modelové směsi vzduch – CO<sub>2</sub> při teplotě 25 °C, jsou znázorněny na Obr. 5. Jedná se opět o gravimetricky zjištěné adsorpční kapacity zjištěné vážením adsorbentů před pokusem a po jejich nasycení do rovnovážného stavu. Molekulové síto 13X vykazovalo nejvyšší sorpční kapacitu při všech měřených koncentracích CO<sub>2</sub>.



Při koncentraci 35 % CO<sub>2</sub>, která je typická pro složení bioplynu byla sorpční kapacita tohoto sorbentu 11,2 hm. %. Při stejné koncentraci sorbovala aktivní uhlí C 46 a K 48 téměř 7 hm. % CO<sub>2</sub>. Ostatní adsorpční materiály sorbovaly při všech měřených koncentracích CO<sub>2</sub> pod 2 hm. %.

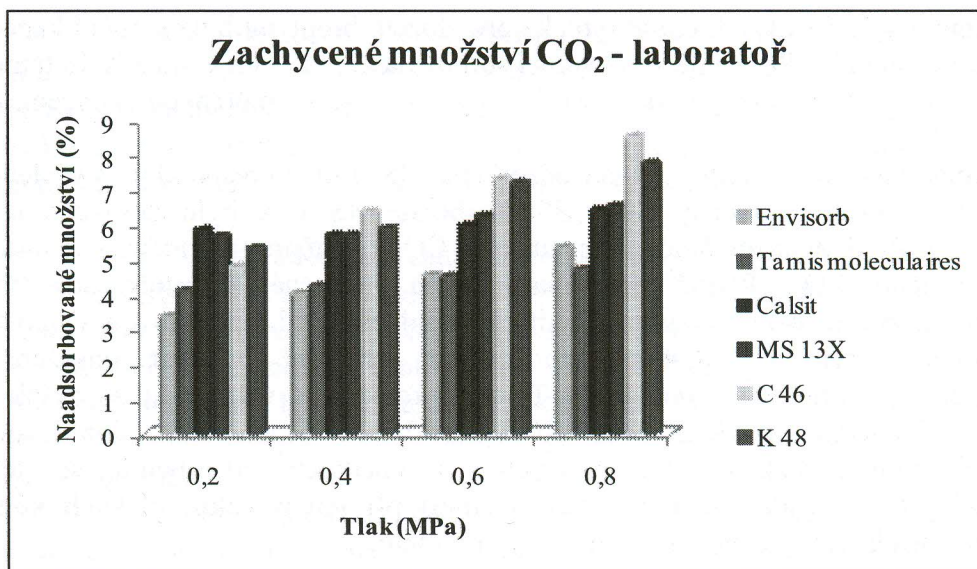
Všechny získané výsledky až na adsorbent MS 13X korespondují s výsledky měření adsorpčních kapacit pro čistý CO<sub>2</sub>. U adsorbentu MS 13X bylo dosaženo na průtočné aparatuře téměř dvojnásobné ads. kapacity pro CO<sub>2</sub> (zjištěno gravimetricky), než v případě použití čistého CO<sub>2</sub>. Patrně při pokusech na průtočné aparatuře adsorboval tento adsorbent, který má velmi vysokou afinitu k vodní páře, také zbytkovou vlhkost vzduchu, která v něm zbyla po třístupňovém čištění, případně vlhkost obsaženou v láhvi s CO<sub>2</sub>, který byl k měřením používán. Tato vlhkost byla velmi nízká, avšak adsorbent MS 13 X jako jediný ze všech testovaných adsorbentů sorbuje velmi dobře vodu z plynu i při jejich velmi nízkých koncentracích. U ostatních adsorbentů se tento efekt neprojevil, protože vodní páru z plynných směsí při jejich velmi nízkých koncentracích buď vůbec neadsorbují, nebo adsorbují jen velmi málo.



**Obr. 5.** Měření adsorpční kapacity pro jednotlivé adsorbenty pro různé koncentrace CO<sub>2</sub> při dynamickém experimentu.

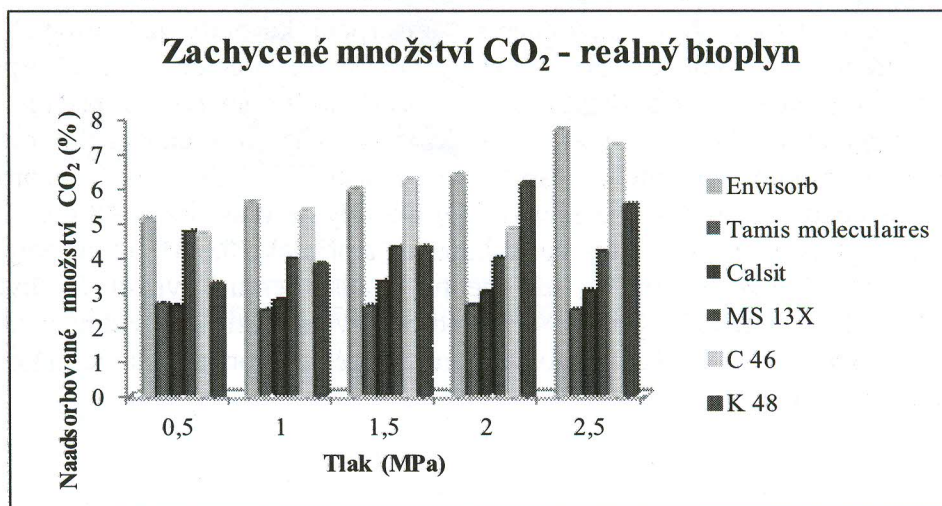
Za laboratorní teploty byly dále měřeny adsorpční kapacity jednotlivých adsorbentů pro CO<sub>2</sub> z modelové směsi plynu (CO<sub>2</sub> + CH<sub>4</sub>) při zvýšených tlacích. Tyto adsorpční kapacity nebyly zjišťovány vážením adsorbentů, nýbrž výpočtem z naměřených průnikových křivek pro CO<sub>2</sub> (integrací příslušné průnikové křivky a vztažením zachyceného množství CO<sub>2</sub> na jednotkovou hmotnost použitého adsorbentu). Získané výsledky jsou znázorněny v grafu na Obr. 6. Jako nejvhodnější se pro záchyt CO<sub>2</sub> ukázaly aktivní uhlí K 48 a C 46, u kterých se se zvyšujícím tlakem zvyšuje i adsorpční kapacita a při tlaku 0,8 MPa byla sorpční kapacita sorbentu C 46 téměř 9 % CO<sub>2</sub> na 1 g adsorbentu. U adsorbentu Envisorb B+ byla adsorpční kapacita při nízkých tlacích nejnižší. Stejně sorpční vlastnosti jsou viditelné u adsorbentů Calsit, molekulové síto 13X a Tamis moleculaires, které adsorbovaly stejné množství CO<sub>2</sub> při všech měřených tlacích.





**Obr. 6.** Měření adsorbovaného množství CO<sub>2</sub> pro jednotlivé adsorbenty při různých tlacích.

Na Obr. 7 jsou znázorněny adsorpční kapacity jednotlivých adsorbentů pro CO<sub>2</sub> zjištěné při použití reálného bioplynu. Tyto adsorpční kapacity byly opět zjišťovány integrací příslušných průnikových křivek pro CO<sub>2</sub> změřených na jednotlivých adsorbentech. Při tomto měření byly zjištěny nejvyšší adsorpční kapacity pro kombinovaný adsorbent Envisorb B+, který sorboval nejvyšší množství CO<sub>2</sub> při všech tlacích. Naopak aktivní uhlí C 46 a K 48 vykazoval podobné chování, jako při použití modelového plynu v laboratoři. Z toho je možné se domnívat, že nedochází při měření adsorpčních kapacit pro CO<sub>2</sub> u těchto sorbentů k sorpci žádných jiných nežádoucích látek. Adsorbent C 46 sorboval při tlaku 2,5 MPa 7,2 % CO<sub>2</sub>. Nejnižší sorpční kapacita pro CO<sub>2</sub> byla naměřena u molekulového síta 13X, která byla při všech tlacích cca 4 % CO<sub>2</sub> na 1 g adsorbentu. Je to patrně způsobenou současnou významnou sorpcí vodní páry, která zabírá část adsorpčního prostoru pro možnou sorpci CO<sub>2</sub>. Protože byly adsorpční kapacity pro CO<sub>2</sub> při těchto pokusech počítány z průnikových křivek pro CO<sub>2</sub>, projevila se v tomto případě koadsorpce vodní páry negativně, na rozdíl od pokusů s modelovou směsí vzduch/CO<sub>2</sub>, kde byly adsorpční kapacity zjišťovány gravimetricky a koadsorpce vody se zde projevila pozitivně přírůstkem celkového množství sorbovaných látek. Syntetický zeolit Calsit a molekulové síto Tamis moleculaires vykazovaly shodné sorpční vlastnosti a jejich sorpční kapacita byla cca 3 % CO<sub>2</sub>.



**Obr. 7.** Měření adsorbovaného množství CO<sub>2</sub> pro jednotlivé adsorbenty při různých tlacích s použitím reálného bioplynu.



Významný nárůst adsorpční kapacity pro CO<sub>2</sub> u adsorbentu Envisorb při použití reálného bioplynu ve srovnání s modelovými směsmi plynů byl patrně opět způsoben současnou sorpcí vodní páry z plynu. Adsorbent Envisorb je kombinovaný sorbent skládající se ze silikagelu (cca 90 %) a aktivního uhlí. Sorpce vody na hydrofilním silikagelu patrně způsobila změnu jeho struktury (přechod do podoby gelu) a zpřístupnění dalších součástí adsorbentu pro sorpci CO<sub>2</sub>.

## **Závěr**

Ze získaných výsledků vyplývá, že jako nejvhodnější adsorbent pro separaci oxidu uhličitého z modelové směsi plynů za laboratorních podmínek se ukázala aktivní uhlí C 46 a K 48, jejichž adsorpční kapacita při měření čistého CO<sub>2</sub> dosahovala cca 7,5 hm. % CO<sub>2</sub> na 1 g adsorbentu. U adsorbentu C 46 nedocházelo k žádným výrazným změnám ani při separaci CO<sub>2</sub> z reálného bioplynu, sorpční kapacita byla téměř stejná 7,2 hm. % CO<sub>2</sub> na 1 g adsorbentu.

## **Poděkování:**

Řešení této problematiky bylo realizováno za finanční podpory vyčleněné z prostředků TAČR v rámci řešení projektu TA03020421 „Technologická jednotka pro omezenou lokální výrobu biometanu nahrazujícího fosilní paliva především v dopravě a zemědělství“. Dále autoři příspěvku děkují vedení ÚČOV Praha za umožnění měření s reálným bioplynem.

## **Seznam použité literatury:**

1. Míka V.; Neuzil L.: Chemické inženýrství II., Vydavatelství VŠCHT, Praha, 1993
2. Ponec V., Knor Z., Černý S.: Adsorpce na tuhých látkách, SNTL, Praha, 1968
3. Moore W.: Fyzikální chemie, SNTL, 1979
4. Barthen D., Breitbach M.: Adsorptionstechnik, Springer, 2001
5. Bureš M., Černý Č., Chuchvalec P.: Fyzikální chemie II, skripta VŠCHT, Praha, 1994
6. Ciahotný K.: Vlastnosti, výroba a použití uhlíkatých adsorbentů, skripta VŠCHT Praha, 2005
7. Procházková A.: Adsorpční sušení a čištění zemního plynu pro pohon motorových vozidel, Diplomová práce, VŠCHT, Praha, 2007

Ing. Veronika Vrbová, tel.: +420 220 444 230, E-mail: Veronika.Vrbova@vscht.cz

Doc. Ing. Karel Ciahotný, CSc., tel.: +420 220 444 228, E-mail: Karel.Ciahotny@vscht.cz

Vysoká škola chemicko-technologická v Praze

Ústav plynárenství, koksochemie a ochrany ovzduší

Technická 5, Praha 6, 166 28